

# Ag/TiO<sub>2</sub>纳米管的制备及其光催化性能

万斌<sup>1</sup>, 陈鸣波<sup>2</sup>, 周细应<sup>1</sup>, 沈嘉年<sup>3</sup>, 李文戈<sup>1</sup>

(1. 上海工程技术大学, 上海 201620)

(2. 上海空间电源研究所, 上海 200233)

(3. 上海大学, 上海 200072)

**摘要:** 对纯钛片进行阳极氧化, 得到长度约 2 μm 的 TiO<sub>2</sub> 纳米管, 在 AgNO<sub>3</sub> 溶液中 TiO<sub>2</sub> 纳米管在紫外光照射下, 成功的将 Ag<sup>+</sup> 离子还原为 Ag 单质, 并沉积在 TiO<sub>2</sub> 纳米管表面; 用 XRD, SEM 和 XPS 对制备的样品进行表征, 结果显示: Ag 微粒(10~120 nm)是以单质的形式, 不均匀的分布在 TiO<sub>2</sub> 纳米管表面, 并具有很好的化学稳定性; Ag/TiO<sub>2</sub> 纳米管光电催化效率随 Ag 量的增加而增加, 但超过最佳值后降解效率就会下降; 实验显示 Ag 含量为 1.15% 的 Ag/TiO<sub>2</sub> 纳米管降解效率最高, 紫外光照射 3 h 后, 初始浓度为 10×10<sup>-6</sup> mol/L 的亚甲基蓝溶液降解率达到 100%, 比未掺杂 Ag 的 TiO<sub>2</sub> 纳米管降解效率提高了 22.98%。

**关键词:** 阳极氧化; TiO<sub>2</sub> 纳米管; Ag 掺杂; 光电催化

中图法分类号: TG 146.2<sup>3</sup>

文献标识码: A

文章编号: 1002-185X(2009)11-2012-05

由于 TiO<sub>2</sub> 的光生电子和光生空穴容易复合, 导致非常低的量子效率<sup>[1,2]</sup>, 这就激发科研人员开发能降低光生电子-空穴对复合的 TiO<sub>2</sub> 光催化材料。为解决这一问题, 可以在 TiO<sub>2</sub> 催化剂表面沉积贵金属, 如: Pt, Ag 或 Au<sup>[3~6]</sup> 等, 使得光生电子能离开催化剂表面, 减少与光生空穴的复合。这是因为当功函数较高的金属与功函数较低的半导体接触后, 就会形成 Schottky 势垒, 利于电子从半导体向金属迁移<sup>[7]</sup>。

TiO<sub>2</sub> 中引入贵金属单质 Ag 后, TiO<sub>2</sub> 微粒和 Ag 微粒形成金属半导体接触, 由于 TiO<sub>2</sub> 的功函数 ( $\varphi_s = 3.87$  eV) 比 Ag 的功函数小, 所以在光照情况下, TiO<sub>2</sub> 内部产生的光生电子比 Ag 内部的电子更易迁移到颗粒的表面。TiO<sub>2</sub> 作为 n 型半导体, 其费米能级比 Ag 的高, 二者接触时, 电子由 TiO<sub>2</sub> 流向 Ag 颗粒, 使 TiO<sub>2</sub> 的费米能级不断降低, 而 Ag 的费米能级不断上升。这种电子的转移最终导致二者的费米能级达到水平, 若此时不发生电子的损耗, 则电子由半导体流向金属的电流密度  $J_{sm}$ , 与电子从金属流向半导体的电流密度  $J_{ms}$  大小相等, 方向相反。宏观上不表现电流的存在。当富集在 Ag 颗粒上的电子被水中的溶解 O<sub>2</sub> 等氧化性物质捕获, 发生一系列反应生成 ·OH, 就会造成电子的消耗。这种电子的消耗使 Ag 的费米能级下降, 费米能级的下降导致 TiO<sub>2</sub> 产生的光生电子不断的流向 Ag 颗粒, 使费米能级

再次达到水平。如此循环, 就使电子源源不断地由 TiO<sub>2</sub> 流向 Ag 颗粒, 使电子在 Ag 颗粒上发生富集。由于 Ag 颗粒起到了富集电子的作用, 相对减少了 TiO<sub>2</sub> 表面的电子浓度, 从而降低光生电子-空穴对的复合几率, 进而增加 TiO<sub>2</sub> 的光催化活性。

TiO<sub>2</sub> 纳米管与 TiO<sub>2</sub> 纳米晶薄膜相比, 具有高的比表面积, 也能降低光生载流子的复合率等优点而倍受关注。

本课题组在利用阳极氧化的方法制备 TiO<sub>2</sub> 纳米晶薄膜和 TiO<sub>2</sub> 纳米管阵列及其在光电作用下降解有机废水方面取得一定的成果<sup>[8~13]</sup>, 本实验利用 TiO<sub>2</sub> 的光催化性能, 研究光催化还原方法在阳极氧化制备的 TiO<sub>2</sub> 纳米管表面沉积 Ag 的影响因素, 并进一步研究所制备的 Ag/TiO<sub>2</sub> 纳米管在光电协同作用下降解亚甲基蓝的性能。

## 1 实验

将工业纯钛箔(100 μm 厚; N 含量 ≤ 0.012%, C 含量 ≤ 0.02%, Si 含量 < 0.04% 和 Fe 含量 ≤ 0.06%) 切成 3 cm×6 cm 长片, 用 350#、800# 和 1000# 的金相砂纸逐级打磨纯 Ti 表面, 直到表面看不到划痕, 用去离子水冲洗, 然后用丙酮超声清洗除油, 再用去离子水清洗, 电吹风吹干, 备用。然后在 0.5%(质量分数) NaF+1

收到初稿日期: 2009-03-28; 收到修改稿日期: 2009-07-13

基金项目: 上海市重点学科建设项目基金(J51402); 上海工程技术大学校基金(2008xy39)

作者简介: 万斌, 男, 1972 年生, 博士, 讲师, 上海工程技术大学材料工程学院, 上海 201620, 电话: 021-67791203, E-mail: wbwb\_2002@sina.com.cn.

mol/L Na<sub>2</sub>SO<sub>4</sub> 体系中, 采用两电极体系进行阳极氧化, 电压为 20 V, 反应时间 6 h, 并在空气氛围中 500 ℃ 退火 1 h 制备 TiO<sub>2</sub> 纳米管。

**光化学沉积 Ag:** 将 TiO<sub>2</sub> 纳米管阵列浸泡在浓度分别为 0.1, 0.2, 0.5, 0.8 和 1.0 mol/L 的 AgNO<sub>3</sub> 溶液中, 波长为 386 nm 的 12 W 紫外灯垂直照射在 TiO<sub>2</sub> 纳米管薄膜上, 时间为 24 h。

随着紫外光照射的时间的延长, TiO<sub>2</sub> 纳米管阵列表面的颜色越来越深, 接近褐色, 这说明有新的物质出现。照射完成后, 先后用大量的乙醇和去离子水冲洗 Ag/TiO<sub>2</sub> 表面, 直到吸附在表面的褐色物质不能被冲洗掉为止。然后在 100 ℃ 的真空炉中 30 min 烘干。

用日本电子生产的 JSM-6700F 型场发射电子扫描显微镜(SEM)观测试样的微观结构、形貌; 用日本 Rigaku 公司生产的 D-MAX-R3 型 X 射线衍射仪(XRD), 来研究所制备的 Ag/TiO<sub>2</sub> 纳米管晶型; 用美国 PHI 公司生产的 PHI 5000C ESCA System X 射线光电子能谱(XPS), 来研究沉积在纳米管上的 Ag 的含量及价态; 纳米管样品的吸收光谱是在 Perkin Elmer 公司生产的带积分球的 Lambda20 分光光度计上进行的。

光催化反应是在自制光催化反应器中进行, 面积为 2 cm×3 cm 的 TiO<sub>2</sub> 纳米管阵列、不同 Ag 含量的 Ag/TiO<sub>2</sub> 纳米管作为阳极, 面积为 2 cm×3 cm 的铂片作为阴极, 饱和甘汞电极为参比电极, 施加 0.45 V(vs.SCE)的阳极偏压, 通过测量亚甲基蓝的降解情况来表征光催化活性。用 0.1 mol/L 的 Na<sub>2</sub>SO<sub>4</sub> 作为辅助电解液, 提高溶液的导电性, 并用 1 mol/L 的 H<sub>2</sub>SO<sub>4</sub> 调节溶液的 pH 到 3。亚甲基蓝溶液的原始浓度是 10×10<sup>-6</sup> mol/L, 原始体积是 150 mL。分别把 TiO<sub>2</sub> 纳米管电极、Ag/TiO<sub>2</sub> 纳米管电极侵入亚甲基蓝溶液中, 然后用 125 W 的高压汞灯在离 Ti 片 2.0 cm 的距离水平照射电极, 然后每隔 30 min 通过医用注射器抽取 5 mL 溶液, 用分光光度计检测亚甲基蓝颜色的变化, 由实验测得的吸光度而算出亚甲基蓝的浓度。

## 2 结果与讨论

### 2.1 AgNO<sub>3</sub> 溶液的浓度对 Ag 含量的影响

XPS 测试结果表明, 随着 AgNO<sub>3</sub> 溶液浓度的增加, 纳米管中 Ag 的含量增加, 但当浓度增大到一定值后, 纳米管中 Ag 的含量开始减少。在 0.1、0.2、0.5、0.8 和 1.0 mol/L 的 AgNO<sub>3</sub> 溶液中, 光催化还原的 Ag 在纳米管中原子分数分别为: 0.47%、0.73%、1.15%、1.91% 和 1.76%。

这是因为 AgNO<sub>3</sub> 浓度越小, 在纳米管表面与光生电子反应的 Ag<sup>+</sup>就越少, 因此沉积的 Ag 浓度就小; AgNO<sub>3</sub> 浓度增加, Ag 沉积的速度也增加; 还原反应进行一段时间后, Ag 在纳米管表面局部位置的吸附与脱附之间达到平衡, 脱附的 Ag 会重新回到 AgNO<sub>3</sub> 溶液中, 悬浮在液面上, 这就阻止了部分的紫外光透过溶液到达纳米管表面, 因此, 通过光催化还原附着在纳米管表面 Ag 颗粒减少。

### 2.2 Ag/TiO<sub>2</sub> 纳米管的表征

#### 2.2.1 Ag/TiO<sub>2</sub> 纳米管的 XRD 分析

图 1 是在 0.5 mol/L 的 AgNO<sub>3</sub> 溶液中, 光催化还原制备的 Ag/TiO<sub>2</sub> 催化剂的 XRD 图谱。从图中可以看到, 衍射峰在 38.78°、40.50°、53.7° 和 70.60° 处是 Ti 基底的特征峰; 在 25.47°、48.05° 和 76.34° 处是锐钛矿型 TiO<sub>2</sub> 的特征峰; 在 38.78° 和 82.47° 处出现了 Ag 的特征峰。这说明采用光催化能够将 AgNO<sub>3</sub> 溶液中的 Ag<sup>+</sup> 还原为 Ag。

#### 2.2.2 Ag/TiO<sub>2</sub> 纳米管的 SEM 观察

为了进一步了解 Ag 在 TiO<sub>2</sub> 纳米管表面光催化沉积的情况, 对 Ag/TiO<sub>2</sub> 纳米管进行扫描电镜分析, 结果见图 2。从图中可见, 采用本工艺制备的 TiO<sub>2</sub> 纳米管管径在 80~100 nm, 管长约 2 μm。经过 24 h 的光催化还原, 并没有使 TiO<sub>2</sub> 纳米管的表面形貌发生任何变化, Ag 成功地还原沉积在 TiO<sub>2</sub> 纳米管上, 图中白色的就是 Ag。所还原沉积的 Ag 形状近似球形, 直径从 10~120 nm 不等。这是因为 TiO<sub>2</sub> 纳米管的表面各处受紫外光照的强度不同, 各处产生的光生电子数量不同, 因而与 Ag<sup>+</sup> 发生的光催化还原反应数不同, 沉积的 Ag 的浓度不同; 另一个原因是: 纳米管表面各处的缺陷不一样, 在各处的活性位子数也不一样, 导致沉积的 Ag 会优先在某些地方沉积并长大, 而有些地方则不会有 Ag 的沉积。

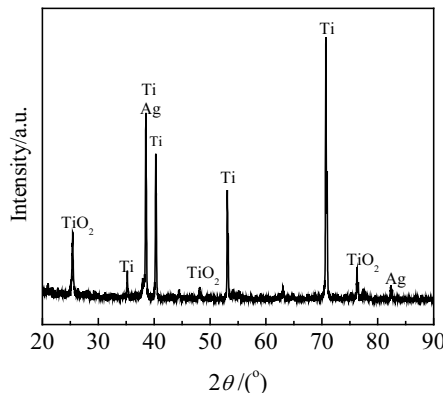


图 1 Ag/TiO<sub>2</sub> 的 XRD 图谱

Fig.1 XRD pattern of Ag/TiO<sub>2</sub>

实验结果显示，通过简单的光催化还原法能在 $\text{TiO}_2$ 纳米管的表面沉积分布不均匀的Ag颗粒，而这一结构在光学、催化以及化学等领域有广泛的应用。

### 2.2.3 Ag/ $\text{TiO}_2$ 纳米管中Ag的化学态

采用XPS进一步确定以上方法所制备的Ag/ $\text{TiO}_2$ 催化剂中Ag的化学价态，结合能以C在289.6 eV处的1s峰为参考值，其结果见图3。从图中可见，采用本实验方法制备的Ag/ $\text{TiO}_2$ 纳米管中Ag的3d轨道的XPS显示，在 $3\text{d}_{5/2}$ 和 $3\text{d}_{3/2}$ 的光电子峰分别为368.5和375.2 eV，这一结果证实了本实验方法制备的Ag/ $\text{TiO}_2$ 催化剂中Ag为金属态的单质Ag，结合XRD分析，表明在紫外光照下，Ag/ $\text{TiO}_2$ 催化剂中Ag并没有被氧化，说明该方法制备的Ag/ $\text{TiO}_2$ 催化剂中Ag具有很高的化学稳定性。

### 2.2.4 Ag/ $\text{TiO}_2$ 纳米管的紫外-可见光光谱

图4所示分别是 $\text{TiO}_2$ 纳米管和沉积1.15%Ag的 $\text{TiO}_2$ 纳米管紫外-可见光光谱。从图中可以看出，沉积Ag的 $\text{TiO}_2$ 纳米管相对于未沉积的 $\text{TiO}_2$ 纳米管的吸收带边产生明显的红移。

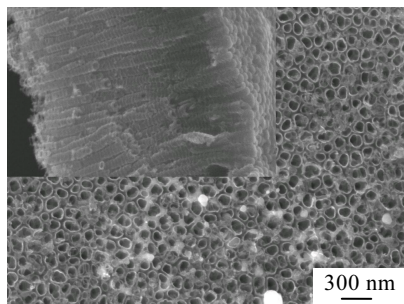


图2 Ag/ $\text{TiO}_2$ 的SEM形貌

Fig.2 SEM image of Ag/ $\text{TiO}_2$

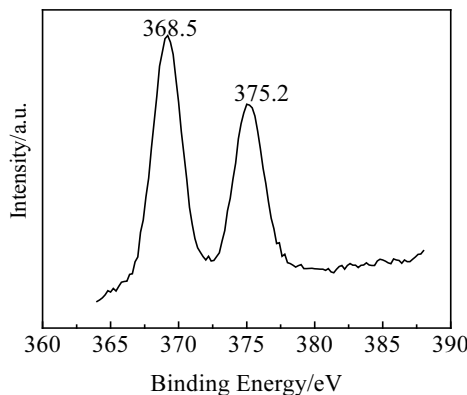


图3 Ag/ $\text{TiO}_2$ 中Ag的XPS谱

Fig.3 XPS spectrum of Ag in Ag/ $\text{TiO}_2$

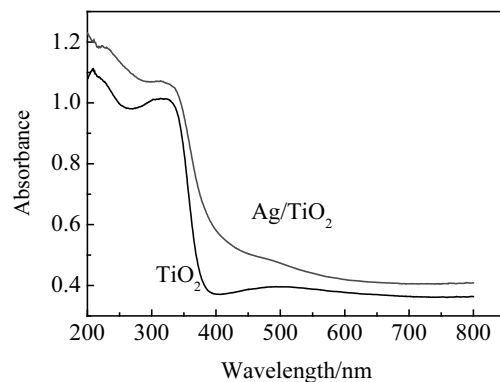


图4 Ag/ $\text{TiO}_2$ 的紫外-可见光光谱

Fig.4 Uv-vis spectra of Ag/ $\text{TiO}_2$

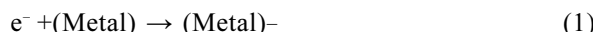
体相锐钛矿相 $\text{TiO}_2$ 的带隙为3.2 eV，金红石相 $\text{TiO}_2$ 的带隙为3.0 eV，本实验中采用在500 °C下退火1 h，纳米管中是以锐钛矿为主的锐钛矿相与金红石相的混晶结构，所以金红石相的出现引起了其吸收带边向长波方向移动；另一方面，Ag沉积到 $\text{TiO}_2$ 表面，改变了 $\text{TiO}_2$ 的能级结构，使得沉积Ag的 $\text{TiO}_2$ 纳米管能被可见光激发， $\text{TiO}_2$ 吸收带边发生红移。这与S. Rengaraj<sup>[14]</sup>等研究发现， $\text{TiO}_2$ 吸收带边发生红移的大小随Ag沉积的含量增大而增大的结果相一致。

### 2.2.5 Ag/ $\text{TiO}_2$ 紫外光催化降解亚甲基蓝溶液

图5是阳极对溶液紫外光降解的影响曲线。从图可看出，降解效率最好的电极是Ag含量为1.15%的Ag/ $\text{TiO}_2$ 纳米管电极，其次是 $\text{TiO}_2$ 纳米管电极，而效率最差的是Ag含量为1.76%的Ag/ $\text{TiO}_2$ 纳米管电极。这说明银有一个最佳含量，当含量大于这个值，光催化的效率会降低，这与T.T.Y.Tan<sup>[15]</sup>等研究结果相同。

Ag含量低时，光生电子向金属迁移被Schottky势垒所俘获的数量较少，从而使大部分的光生电子还是与光生空穴复合，因此光催化效率变化不大。当Ag含量达到最佳值时，大部分的光生电子被Schottky势垒所俘获，抑制了光生电子与空穴的复合，使得光催化效率大大提高。但是Ag含量过高会使得过多的Ag覆盖在二氧化钛表面，限制了催化剂对光线的吸收，减少了光生电子-空穴对的数量；高含量的Ag在催化剂表面，会捕获空穴，减少了空穴与所吸附的物质发生反应，从而降低光催化性能。

在这一过程中，沉积金属主要通过以下反应影响光催化的作用<sup>[16~18]</sup>：



金属含量低于最佳值的时候，金属与光生电子复合形成金属负离子，从而减少了光生空穴与光生电子

的复合, 提高了光催化效率; 当金属的含量超过最佳含量后, 过多的金属负离子会发生以下反应:



这时候反应(3)和反应(2)就发生竞争, 减少了光生空穴的数量, 从而降低了光催化效率。

由XPS测试结果可知, 在催化剂颗粒表面负载的Ag是以单质的形式存在。在Ag/TiO<sub>2</sub>光催化体系中, 银粒子通过产生局部电场促进电子激发<sup>[19]</sup>, 金属Ag能起到原电池电极的作用, 在TiO<sub>2</sub>表面形成活性中心, 可以有效地将光生电子和光生空穴分离, 减少光生电子和光生空穴复合的几率, 提高了光生载流子的寿命, 这也是提高催化剂光催化活性的原因之一。

通过计算表明, Ag含量为1.15%的Ag/TiO<sub>2</sub>纳米管电极的光催化效率比TiO<sub>2</sub>纳米管电极的光催化效率提高了约22.98%。

图6是Ag含量为1.15%的Ag/TiO<sub>2</sub>纳米管电极不同反应时间亚甲基蓝溶液的吸收光谱。可见, 紫外光催化降解3 h后, 亚甲基蓝已几乎被降解为无色的液体, 说明亚甲基蓝中的偶氮链被彻底打破。

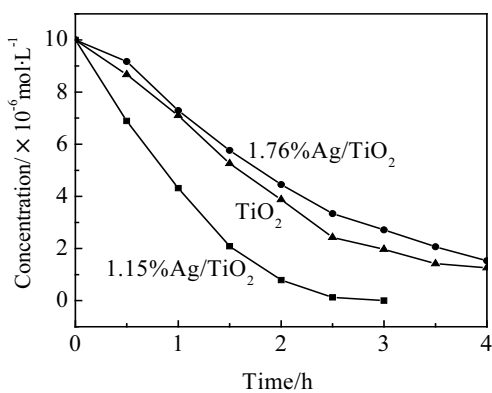


图5 不同阳极对亚甲基蓝溶液紫外光降解的影响

Fig.5 Influence of anode on methylene blue degradation under UV-light

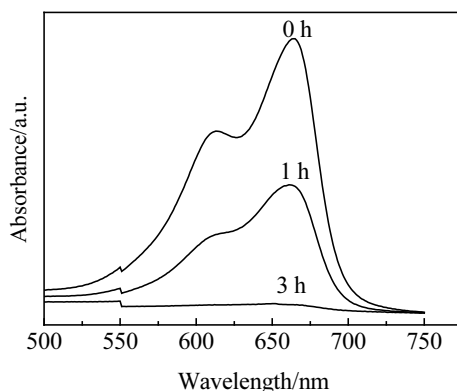


图6 不同反应时间亚甲基蓝溶液的吸收光谱

Fig.6 Spectra of methylene blue in different reaction times

图7是Ag含量为1.15%的Ag/TiO<sub>2</sub>纳米管电极降解亚甲基蓝溶液的COD(Chemical Oxygen Demand)情况。降解3 h后, 亚甲基蓝溶液的COD降解率达到95%左右, 这表明, 在降解反应中, 亚甲基蓝的偶氮链不但被彻底打破, 而且被降解为无机的CO<sub>2</sub>和H<sub>2</sub>O。

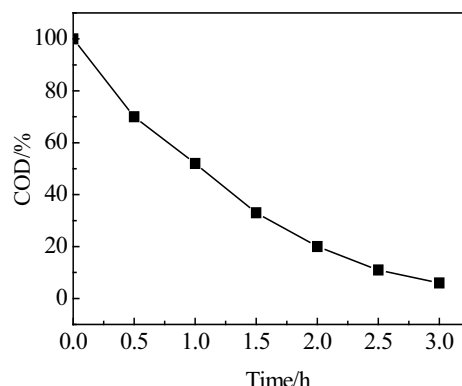


图7 亚甲基蓝 COD 的降解

Fig.7 Methylene blue COD degradation

### 3 结 论

1) 通过简单的光催化还原法可以将Ag沉积在纳米管表面; Ag是不均匀的分布在纳米管表面, Ag为近似球形, 直径从10~120 nm不等; 所沉积的Ag为单质Ag, 并具有很好的化学稳定性。

2) 随着AgNO<sub>3</sub>溶液浓度的增加, 纳米管中Ag的含量也逐渐增加。

3) Ag沉积的TiO<sub>2</sub>纳米管相对于未掺杂TiO<sub>2</sub>纳米管的吸收边带产生明显的红移。

4) Ag含量对TiO<sub>2</sub>纳米管紫外光的光催化效果影响很大, TiO<sub>2</sub>纳米管紫外光的光催化效果随Ag含量的增加而增加, 但是当Ag含量达到某一个最佳值后, 光催化效率反而下降, Ag含量在1.15%时光催化效率最高, 反应3 h后, 初始浓度为10×10<sup>-6</sup> mol/L的亚甲基蓝降解率为100%。

5) 亚甲基蓝溶液的紫外-可见光吸收光谱及COD降解表明, 本实验不但将亚甲基蓝中显色的偶氮链彻底打破, 而且被降解为无机的CO<sub>2</sub>和H<sub>2</sub>O。3 h COD降解率达到95%左右。

### 参考文献 References

- [1] Kudo A, Sekizawa M. *Chem Commun*[J], 2000, 39: 1371
- [2] Sayamana K, Arakawa H. *Chem Soc Faraday Trans* [J], 1997, 93 (8): 1647
- [3] Yang J C, Kim Y C, Shul Y G et al. *Appl Surf Sci*[J], 1997,

- 121~122: 525
- [4] Vamathevan V, Tse H, Amal R et al. *Catal Today*[J], 2001, 68: 201
- [5] Xi C, Chen Z, Li Q et al. *Photochem Photobiol A*[J], 1995, 87(3): 249
- [6] Li X Z, Li F B. *Environ Sci Tech*[J], 2001, 35 (11): 2381
- [7] Dalven R. *Physics of Metal-Semiconductor and Metal-Insulator-Semicon Ductor Junctions, Introduction to Applied Solid State Physics*[M]. New York: Plenum Press, 1990: 111
- [8] Sun Xianrong(孙宪荣), Shen Jianian(沈嘉年), Ekoko(爱可可)et al. *Rare Metal Materials and Engineering* (稀有金属材料与工程) [J], 2006, 35(11): 1770
- [9] Zhang Yujuan(张玉娟), Shen Jianian(沈嘉年). *Rare Metal Materials and Engineering* (稀有金属材料与工程) [J], 2006, 35(1): 92
- [10] Sun Juan (孙娟), Shen Jianian(沈嘉年), Yao Shudian(姚书典). *Acta Chim. Sinica*(化学学报)[J], 2007, 64(7): 647
- [11] Yao Shudian(姚书典), Shen Jianian(沈嘉年), Sun Juan (孙娟). *Rare Metal Materials and Engineering* (稀有金属材料与工程) [J], 2006, 35(10): 1625
- [12] Wan Bin(万斌), Shen Jianian(沈嘉年), Chen Mingbo(陈鸣波)et al. *Acta Chim Sinica*(化学学报)[J], 2008, 66(11): 1301
- [13] Wan Bin(万斌), Shen Jianian(沈嘉年), Chen Mingbo(陈鸣波)et al. *Chinese J Appl Chem*(应用化学)[J], 2008, 25(6): 665
- [14] Rengaraj S, Li X Z. *Journal of Molecular Catalysis A: Chemical*[J], 2006, 243: 60
- [15] Tan T T Y, Yip C K, Beydoun D et al. *Chemical Engineering Journal*[J], 2003, 95: 179
- [16] Gerischer H, Heller A. *J Phys Chem*[J], 1991, 95: 5261
- [17] Linsbigler F A, Rusu C, Yates Y T. *J Am Chem Soc*[J], 1996, 118: 5284
- [18] Kamat P V. *Pure Appl Chem*[J], 2002, 74: 1693
- [19] Arabatzis I M, Stergiopoulos T, Bernard M C. *Appl Catal B: Environmental*[J], 2003, 42: 187

## Preparation of Ag/TiO<sub>2</sub> Nanotube and Its Photocatalytic Performance

Wan Bin<sup>1</sup>, Chen Mingbo<sup>2</sup>, Zhou Xiyi<sup>1</sup>, Shen Jianian<sup>3</sup>, Li Wenge<sup>1</sup>  
 (1. Shanghai University of Engineering and Science, Shanghai 201620, China)  
 (2. Shanghai Institute of Space-Power Source, Shanghai 200233, China)  
 (3. Shanghai University, Shanghai 200072, China)

**Abstract:** Ag nanoparticles were deposited photocatalytically on the TiO<sub>2</sub> nanotube surface prepared by anodizing in an electrolyte of AgNO<sub>3</sub> and characterized by XRD, SEM and X-ray Photoelectron Spectroscopy (XPS). The results show that the Ag particles (from 10~120 nm in size) are deposited on the TiO<sub>2</sub> nanotube surface un-uniformly as Ag<sup>0</sup> and Ag particles, showing a good chemical stability. The photo-degradation rate of methylene blue solution increases as the content of Ag loaded on nanotube surface increase. If the content is greater than the most optimally content, the photo-degradation rate will decrease. It is shown that the photo-degradation rate is the highest when the content of Ag is about 1.15%. The Ag loaded nanotubes have much higher photo-degradation rate of about 22.98% than un-loaded nanotubes. The degradation rate is about 100% after UV irradiation of methylene blue solution of 10×10<sup>-6</sup>mol/L for 3 h.

**Key words:** anodic oxidation; TiO<sub>2</sub> nanotube; Ag doping; photocatalysis

Biography: Wan Bin, Ph. D., Lecturer, School of Material Engineering, Shanghai University of Engineering and Science, Shanghai 201620, P. R. China, Tel: 0086-21-67791203, E-mail: wbwb\_2002@sina.com